

# ویژگی‌های مهندسی نانو - بتن سبک و اثر آن در رفتار لرزه‌ی سازه‌های ساختمانی

عباسعلی تنبیهی<sup>\*</sup> (استاد)

سمیرا بیات کشکولی (دانشجوی کارشناسی ارشد)

گروه مهندسی سازه، دانشکده مهندسی عمران و محیط زیست، دانشگاه تربیت مدرس

کاهش وزن ساختمان‌ها ضمن کوچک‌ترکردن ابعاد اعضای سازه‌یی، موجب کاهش نیروی ناشی از زلزله نیز می‌شود. برای کاهش وزن سازه می‌توان از بتن سبک در اعضای سازه‌یی و غیرسازه‌یی استفاده کرد. به کارگیری بتن سبک در اعضای سازه‌یی، نیازمند تأمین کمینه‌ی مقاومت آئینه‌یی است. برای تأمین مقاومت کاهش‌یافته‌ی ناشی از سبک‌دانه، می‌توان از نانوسیلیس به منزله‌ی یکی از تقویت‌کننده‌ها استفاده کرد، که علاوه‌بر افزایش سرعت هیدرولاسیون سیمان و واکنش با هیدرولکسید کلسیم، ژل سیلیکات کلسیم هیدراته (C-S-H) تشکیل می‌دهد، که به مرتب مستحکم‌تر از هیدرولکسید کلسیم است. در این نوشتار، ویژگی‌های مکانیکی بتن سبک ساخته‌شده از سبک‌دانه‌ی رس منبسط‌شده برای دو نوع بتن بدون نانوسیلیس و با نانوسیلیس مورد آزمایش قرار گرفته‌اند. نتایج نشان داده است که در صورت افزودن نانوسیلیس، میانگین مقاومت فشاری ۴٪، مقاومت خمشی ۵٪، مقاومت شکافتگی ۲۶٪ و مدول ارتجاعی ۷۹٪ افزایش می‌یابد. همچنین بررسی عملکرد سازه‌یی بتن سبک در اعضای سازه‌یی و غیرسازه‌یی و بتن سبک دارای نانوسیلیس در اعضای سازه‌یی نشان داده است که تغییر چشمگیری در رفتار لرزه‌ی ساختمان‌های بتن مسلح ایجاد نمی‌شود.

tasnimi@modares.ac.ir  
samira.bayat.5@gmail.com

وازگان کلیدی: بتن سبک، خواص مکانیکی، نانوسیلیس، بتن سبک، کاربرد سازه‌یی.

## ۱. مقدمه

با سولفات‌ها ترکیب می‌شود، که حاصل آن گچ (سولفوآلومینات کلسیم) با افزایش حجم چند برابری موجب تخریب بتن می‌شود.<sup>[۱]</sup> جایگزینی بخشی از سیمان با موادی مانند دوده‌ی سیلیسی باعث گسترش واکنش پوزولانی و تبدیل هیدرولکسید کلسیم حاصل از هیدرالسیون به ژل سیلیکات کلسیم هیدراته می‌شود. گفته می‌شود که با ۱۰٪ جایگزینی دوده‌ی سیلیسی در خمیر سیمان، بیشینه‌ی مقدار هیدرولکسیم و وزن مخصوص خشک ۱۴۴۰ تا ۱۸۵۰ کیلوگرم بر مترمکعب را می‌توان بتن سبک سازه‌یی نامید. بتن سبک با مقاومت کمتر از مقدار مذکور به عنوان بتن سبک سازه‌یی شناخته نمی‌شود. برای جبران اثر کاهش مقاومت ناشی از بکاربردن سبک‌دانه، می‌توان از مواد تقویت‌کننده استفاده کرد. در حالت کلی مقاومت بتن به ریزساختارها وابسته است، اگرچه ریزساختارها یگانه عامل مؤثر در مقاومت فشاری نیستند.<sup>[۲]</sup> بررسی‌ها نشان داده است که در بتن سبک، لایه‌ی مرزی میان خمیر سیمان هیدراته شده و سنگ‌دانه یک پیوند ضعیف است.<sup>[۲]</sup> از طرف دیگر، هیدرولکسید کلسیم نیز منشاء ضعف بتن است، زیرا آب آن را در خود حل می‌کند و با انتقال آن به بیرون و روی سطح بتن، به صورت (سفیدک یا پودر کربنات کلسیم) رسوب می‌دهد. این رسوب

بتن سبک به صورت موفقیت‌آمیزی برای اهداف سازه‌یی نظریه‌پنهانی با دهانه‌ی بزرگ و سازه‌های تخت ساختمانی به کار رفته است.<sup>[۱]</sup> بتن سبک‌دانه، بتن سبکی است که تمام یا بخشی از دانه‌بندی آن از سبک‌دانه‌ها تشکیل شده باشد.<sup>[۱]</sup> مطابق آئین‌نامه‌ی ACI-۲۱۳-۸۷<sup>[۲]</sup> بتن سبک‌دانه با مقاومت فشاری ۱۷/۲ مگاپاسکال و وزن مخصوص خشک ۱۴۴۰ تا ۱۸۵۰ کیلوگرم بر مترمکعب را می‌توان بتن سبک سازه‌یی نامید. بتن سبک با مقاومت کمتر از مقدار مذکور به عنوان بتن سبک سازه‌یی شناخته نمی‌شود. برای جبران اثر کاهش مقاومت ناشی از بکاربردن سبک‌دانه، می‌توان از مواد تقویت‌کننده استفاده کرد. در حالت کلی مقاومت بتن به ریزساختارها وابسته است، اگرچه ریزساختارها یگانه عامل مؤثر در مقاومت فشاری نیستند.<sup>[۲]</sup> بررسی‌ها نشان داده است که در بتن سبک، لایه‌ی مرزی میان خمیر سیمان هیدراته شده و سنگ‌دانه یک پیوند ضعیف است.<sup>[۲]</sup> از طرف دیگر، هیدرولکسید کلسیم نیز منشاء ضعف بتن است، زیرا آب آن را در خود حل می‌کند و با انتقال آن به بیرون و روی سطح بتن، به صورت (سفیدک یا پودر کربنات کلسیم) رسوب می‌دهد. این رسوب

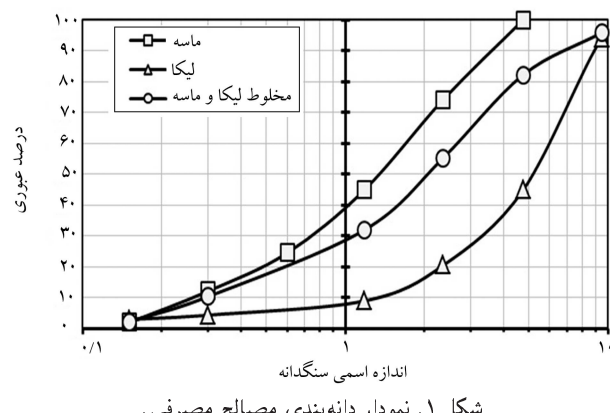
\* نویسنده مسئول  
تاریخ: دریافت ۹/۷/۱۳۹۱، اصلاحیه ۲۳/۱/۱۱، پذیرش ۱/۴/۱۳۹۲.

جدول ۱. خصوصیات نانوسیلیس مصرفی.

درصد وزنی مواد جامد	زجت (MPa.s)	حدود ۱۰	PH	وزن مخصوص (kg/m³)	قطر نانو ذرات (nm)
۵	۶			۱۰۳۰	۵۰

جدول ۲. مقایسه‌ی دانه‌بندی استاندارد با دانه‌بندی مصالح مصرفی.

ماسه	ASTM	دانه‌بندی اندازه‌ی		سنگدانه‌ی عبوری (mm)
		سبکدانه‌ی لیکا	مصرفی	
۱۰۰		۹۵-۱۰۰	۹۵-۱۰۰	۱۲,۵۰
		۹۸,۷۴		۹,۵۰۰
۱۰۰	۹۵-۱۰۰	۴۶,۹۸	۵۰-۸۰	۴,۷۵۰
۷۴,۲۱	۸۰-۱۰۰	۲۱,۴۶		۲,۳۶۰
۴۴,۸۵	۵۰-۸۵	۹,۳۴		۱,۱۸۰
۲۴,۴۶	۲۵-۶۰			۰,۶۰۰
۱۲,۰۹۸	۵-۳۰	۴,۵۴	۵-۲۰	۰,۳۰۰
۱,۸۹	۰-۱۰	۳,۰۳	۲-۱۵	۰,۱۵۰
			۰-۱۰	۰,۰۷۵



شکل ۱. نمودار دانه‌بندی مصالح مصرفی.

شده است. نمودار دانه‌بندی سنگدانه‌های مورد استفاده در شکل ۱ نشان داده شده است.

## ۲. طرح اختلاط

پس از انتخاب مصالح و نیز تعیین مقدار بهینه‌ی نسبت آب به سیمان برای دو حالت دارای نانوسیلیس (NLWC) و بدون نانوسیلیس (LWC)، از نسبت‌های جدول ۳ برآساس روش ACI ۲۱۱-۹۸، [۱۵] و نسبت آب به سیمان ۰,۶۸ به عنوان اولین مرحله‌ی سعی و خطاب برای طرح اختلاط دارای مقاومت ۲۸ روزه‌ی ۳۰ مکاپاسکال استفاده شد. لیکن با توجه به تأثیر متفاوت سبکدانه‌های مختلف بر روی بتن، که استفاده از نسبت‌های اختلاط پیشنهادی تولیدکننده‌ی سبکدانه را برای عملکرد مناسب بتن مجاز می‌داند، از گزارش نهائی تولیدکننده‌ی لیکا، که تأثیر پارامترهایی چون وزن مخصوص تودهی، نسبت آب به سیمان و مقدار سبکدانه‌ی بتن و استفاده

۳٪ نانوسیلیس است. [۱۶] با توجه به موارد مذکور، در این نوشتار اثر نانوسیلیس در خصوصیات مکانیکی بتن سبک مورد بررسی قرار گرفته و روابطی برای تعیین این خصوصیات ارائه شده است، که انطباق قابل قبولی با مصالح مصرفی دارد.

## ۲. برنامه‌ی آزمایش

### ۲.۱. مصالح

#### ۲.۱.۱. سیمان

برای ساخت نمونه‌ها در این مطالعه، از سیمان پرتلند تیپ II در اختلاط بتن استفاده شده است. این سیمان از نظر خواص متوسط است، بدین معنی که تا حدی کندگیر و نیز تا حدی در مقابل حمله‌ی سولفات‌ها مقاوم است. وزن مخصوص این سیمان، ۳۱۰۰ کیلوگرم بر مترمکعب است.

#### ۲.۱.۲. نانوسیلیس

در ساخت نمونه‌های دارای نانوسیلیس از محلول نانوسیلیس شیری رنگ استفاده شده است، که خصوصیات آن در جدول ۱ آمده است.

#### ۲.۱.۳. فوق روان‌کننده

با افزایش نانوسیلیس در اختلاط بتن، ویسکوزیتیه‌ی بتن افزایش و کارایی و اسلام‌پ کاهش می‌یابد. برای جبران کارایی می‌توان مقدار آب را افزایش داد، که در این صورت مقاومت بتن کاهش می‌یابد. برای رفع این مشکل از فوق روان‌کننده، که با نسبت آب به سیمان کمتر، مقاومت فشاری، مقاومت خمشی و مدول ارتجاعی بتن را افزایش می‌دهد، استفاده شده است. فوق روان‌کننده‌هایی که بر پایه‌ی فرمالدئید نفتالین سولفونات هستند، مقدار هوای محبوس بتن را کاهش می‌دهند؛ در حالی که لیگنین سولفونات‌ها باعث افزایش مقدار هوای محبوس می‌شوند. [۸] بنابراین در این مطالعه، از فوق روان‌کننده بر پایه‌ی نفتالین (N.S.F) استفاده شده است. وزن مخصوص این فوق روان‌کننده، ۱۲۰۰ کیلوگرم بر مترمکعب است.

#### ۲.۱.۴. سبکدانه و ماسه

در این مطالعه، از لیکا به عنوان سبکدانه برای تولید بتن سبک سازه‌ی استفاده شده است. وزن مخصوص تودهی توصیه‌های آینه‌نامه‌ی ASTM-C۳۳۰ [۹] باشد. مقدار این متغیر طبق توصیه‌های آینه‌نامه‌ی ASTM-C۳۳۰ [۹] باشد کمتر از ۱۵ کیلوگرم بر مترمکعب باشد. وزن مخصوص دانه‌ی لیکا مطابق با ضوابط آینه‌نامه‌ی ACI-۲۱۱/۲ [۱۰] باشد ۸۲۳ کیلوگرم بر مترمکعب باشد. وزن مخصوص دانه‌ی ماسه مورد استفاده نیز ۲۵۰۰ کیلوگرم بر مترمکعب به دست آمد. معمولاً آب آزاد موجود در بتن تازه پس از گذشت ۰,۵ تا ۱ ساعت تا حدی با سیمان واکنش می‌دهد و مقدار نفوذ آن به داخل سبکدانه به مقدار قابل توجهی کاهش می‌یابد. [۱۱] بنابراین، معمولاً جذب آب ۰,۵ تا ۱ ساعت، ملاک شرایط محاسبه‌ی رطوبت اشباع با سطح خشک است. جذب آب ۰,۵ ساعت‌های سنگدانه‌ی سنگدانه‌های مسحوق دانه‌ی لیکا و ماسه، [۱۲] ASTM-C1۲۷ [۱۳] مشخص و برای لیکا ۱۱,۸٪ و برای ماسه موردنی مذکور نیز ۸٪ تعیین شده است.

مدول نرمی ماسه‌ی مصرفی مطابق ASTM-C۳۱۶ [۱۴] ۳/۳ به دست آمد. استاندارد ASTM-C۳۳ [۱۵] مقدار مدول نرمی ریزدانه را به ۲/۳ تا ۳/۱ محدود می‌کند. مدول نرمی ریزدانه‌های مخلوط لیکا و ماسه، ۳/۱ است. حدود تغییرات دانه‌بندی سنگدانه‌ها در استاندارد ASTM-C۳۳۰ [۱۶] مشخص شده است. در جدول ۲، مقادیر این استاندارد با مقادیر مربوط به سنگدانه‌های مورد استفاده مقایسه

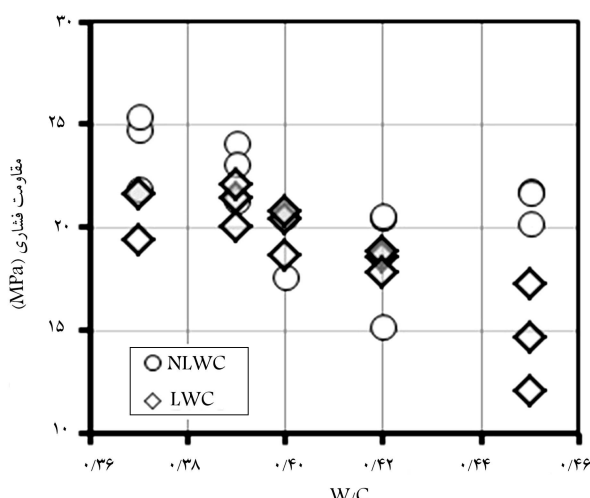
هم مخلوط، و سپس آب به همراه افزودنی طی ۲ تا ۴ دقیقه به تدریج به مخلوط اضافه و به مدت ۱ دقیقه محتویات مخلوطکن با هم مخلوط می‌شوند.<sup>[۱۷]</sup> در این مطالعه، پس از اختلاط به ۳ روش فوق مشاهده شد که فقط در روش سوم، بتن حاصل طی فرایند اختلاط کلخه نمی‌شود و همگنی مناسبی نیز دارد. پس از اختلاط، ابتدا اسلامپ بتن مطابق C ۱۴۳ ASTM-C<sup>[۱۸]</sup> اندازه‌گیری و سپس بتن درون قالب‌ها ریخته شد. چنانچه اسلامپ بتن کمتر از ۰/۵ میلی‌متر بود، بتن با استفاده از ویراتور مطابق استاندارد مربوط و پیره و در صورتی که اسلامپ، بزرگ‌تر یا مساوی مقدار مذکور بود، بتن کوبیده می‌شد.<sup>[۱۹]</sup> نمونه‌ها پس از ۱ روز از قالب خارج و برای عمل آوری درون آب گذاشته شدند، پس از آن مطابق سن در نظر گرفته شده از آب خارج شدن و مورد آزمایش قرار گرفتند.

### ۳.۲. نسبت آب به سیمان

برای تشخیص دقیق میزان آب لازم برای کسب مقاومت بهینه‌ی مخلوط بتن، نمونه‌هایی از مخلوط مورد بررسی قرار گرفت. برای این منظور از نسبت‌های وزنی جدول ۵ و تغییر نسبت آب به سیمان (۰/۳۹، ۰/۴۰، ۰/۴۲ و ۰/۴۵)، به منظور کسب بیشترین مقاومت فشاری استفاده شد. مقاومت فشاری ۷ روزه‌ی نمونه‌های بتن سبک دارای این نسبت‌ها مطابق جدول ۶ به دست آمد و در شکل ۲ نشان داده شده است. ملاحظه می‌شود که هر دو نوع بتن سبک دارای نانوسیلیس و بدون نانوسیلیس با نسبت آب به سیمان ۰/۳۷ بیشترین مقاومت را دارند. بنابراین، برای تعیین دیگر خصوصیات این دو نوع بتن از نسبت آب به سیمان ۰/۳۷ استفاده شد، که وزن مخصوص خشک آن با توجه به استاندارد C ۵۶۷ ASTM<sup>[۱۹]</sup> براساس رابطه‌ی ۱ محاسبه شد:

$$Q_c = (M_{df} + M_{dc} + 1/2 M_{ct}) / V \quad (1)$$

که در این رابطه،  $Q_c$  وزن مخصوص خشک بتن بر حسب کیلوگرم بر مترمکعب است، که با استفاده از  $M_{df}$  و  $M_{dc}$  وزن ریزدانه‌ها و درشتدانه‌ها و وزن سیمان بر حسب کیلوگرم بدست آید.  $V$  حجم بتن بر حسب مترمکعب است. مقدار وزن مخصوص خشک بتن سبک با نسبت آب به سیمان ۰/۳۷ با استفاده از رابطه‌ی مذکور برابر ۱۶۷۵ کیلوگرم بر مترمکعب بدست آمد.



شکل ۲. مقاومت فشاری ۷ روزه‌ی بتن سبک و بتن سبک دارای نانوسیلیس.

جدول ۳. نسبت‌های اختلاط براساس ACI-۲R-۹۸.

مصالح	نسبت‌های حجمی	نسبت‌های وزنی
آب	۰/۲۲۵	۰/۲۲۵
سیمان	۰/۱۱	۰/۱۱
لیکا	۰/۴	۰/۴
ماسه	۰/۲۳	۰/۲۳

جدول ۴. طرح اختلاط اولیه.

مصالح	نسبت‌های حجمی	نسبت‌های وزنی
آب	۰/۱۵۷	۰/۱۵۷
سیمان	۰/۱۵۳	۰/۱۵۳
لیکا	۰/۳۱	۰/۳۱
ماسه	۰/۳۴	۰/۳۴

جدول ۵. نسبت‌های وزنی اختلاط.

نمونه‌ی بتن	مصالح
NLWC	LWC
۴۷۵	۴۷۵
۰/۴۵	۰/۴۵
۲۵۵	۲۵۵
۸۵۰	۸۵۰
۲	۱/۸
۳	۱/۸

از نسبت‌های اختلاط مشابه با ACI اما با نسبت آب به سیمان ۰/۲۹ را برای مقاومت ۳۰ مگاپاسکال توصیه کرده است، طرح اختلاط اولیه با نسبت‌های ارائه شده در جدول ۴ به دست آمد. در این مطالعه برای اینکه اثر نانوسیلیس بر بتن به خوبی بررسی شود، از طرح اختلاطی که با سیمان بیشتر تدارک دیده شده استفاده شده است.

طرح اختلاط اولیه با توجه به وزن مخصوص مصالح مورد استفاده و جذب آب سنگ‌دانه‌ها تصحیح شد، که سرانجام برای نسبت‌های اختلاط وزنی، نسبت آب به سیمان ۰/۴۵ مطابق جدول ۵ اختیار شد. این تذکر لازم است که در نمونه‌های دارای نانوسیلیس، از نانوسیلیس برای جایگزینی درصد وزنی سیمان استفاده شده است. مطالعات انجام شده نشان می‌دهد که برای اختلاط بتن سبک‌دانه می‌توان از ۳ روش استفاده کرد:

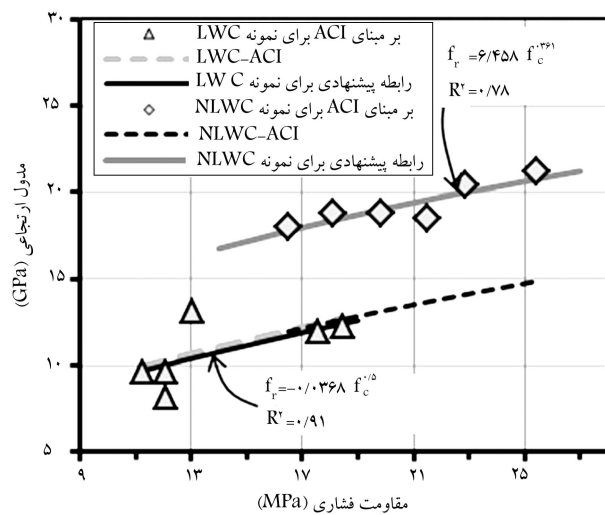
- در ابتدا، مشابه بتن معمولی درشت‌دانه‌ها به همراه مقداری آب، که قبل‌اً فوق روان‌کننده مخلوط شده است، درون مخلوطکن ریخته و پس از آن ماسه، سیمان و بقیه‌ی آب به تدریج به مخلوط اضافه می‌شود. این اختلاط به مدت ۳ دقیقه ادامه می‌یابد و پس از آن ۳ دقیقه مخلوطکن خاموش و در انتهای با ۲ دقیقه اختلاط مجدد، بتن آماده استفاده می‌شود.<sup>[۱۶]</sup>

- بن در دو بخش جداگانه مخلوط می‌شود: بخش اول که شامل سیمان، ماسه، افزودنی و حدود دو سوم آب است، مخلوط و بخش دوم، درشت‌دانه‌ها به همراه باقیمانده‌ی آب به مخلوط بخش اول اضافه می‌شود.<sup>[۱۷]</sup>

- مصالح خشک شامل درشت‌دانه، سیمان و ماسه در ابتدا به مدت ۱ دقیقه با

جدول ۶. تغییر نسبت آب به سیمان و مقاومت فشاری ۷ روزه‌ی بتن سبک و بتن سبک دارای نانو سیلیس.

نمونه	به سیمان	روان‌کننده	نانونسیلیس	درصد فوق	اسلامپ	وزن مخصوص	مقاومت فشاری	(MPa)
					(cm)	(kg/m³)		(MPa)
LWC-Cyl-۱	۰,۴۵	۱,۸	۱۷۶۰	۳۰	۱۴,۶	۱۷۶		
LWC-Cyl-۲	۰,۴۲	۱,۸	۱۷۷۱	۱۹	۱۸,۳۷	۱۷۷		
LWC-Cyl-۳	۰,۴	۱,۵	۱۷۷۹	۰	۱۹,۹۳	۱۷۷		
LWC-Cyl-۴	۰,۳۹	۲	۱۷۸۱	۰	۲۱,۱۷	۱۷۸		
LWC-Cyl-۵	۰,۳۷	۱,۵	۱۷۹۰	۰	۲۰,۵	۱۷۹		
NLWC-Cyl-۱	۰,۴۵	۲	۱۷۴۴	۱۵	۲۱,۲۳	۱۷۴		
NLWC-Cyl-۲	۰,۴۲	۲,۲	۱۷۵۵	۱۹	۱۸,۷۷	۱۷۵		
NLWC-Cyl-۳	۰,۴	۲,۴	۱۷۶۰	۱۸,۵	۱۹,۱	۱۷۶		
NLWC-Cyl-۴	۰,۳۹	۲,۶	۱۷۶۵	۱۹	۲۲,۸۳	۱۷۶		
NLWC-Cyl-۵	۰,۳۷	۲,۶	۱۷۷۲	۱۶	۲۴,۰۳	۱۷۷		



شکل ۳. تغییرات مدول ارتجاعی بر حسب مقاومت فشاری بتن سبک و بتن سبک دارای نانو سیلیس.

نتایج این تحقیق (با ضرایب همبستگی قابل قبول) برای دو نوع بتن نتایج متفاوت و مستقلی را به دست می‌دهد، که برای بتن سبک دارای نانو سیلیس رابطه‌ی ۲ پیشنهاد می‌شود:

$$E_c = 6,458 f_c^{0.9} \quad (2)$$

آخرین ستون جدول ۷، مقدار کرنش نظری بیشینه‌ی مقاومت فشاری دو نوع بتن را ارائه می‌دهد، که تقریباً به یکدیگر نزدیک است. همچنین در شکل ۴ تغییرات کرنش نظری بیشینه‌ی تنش در مقابل مقاومت فشاری ترسیم شده و روابط آنها با برازش غیرخطی نشان داده شده است. رابطه‌ی ۳، کرنش نظری مقاومت فشاری بتن سبک دارای نانو سیلیس را نشان می‌دهد:

$$\varepsilon_c = 4,473 \times 10^{-3} f_c^{0.9} \quad (3)$$

### ۳. آزمایش نمونه‌ها

#### ۱.۳ مقاومت فشاری و مدول ارتجاعی

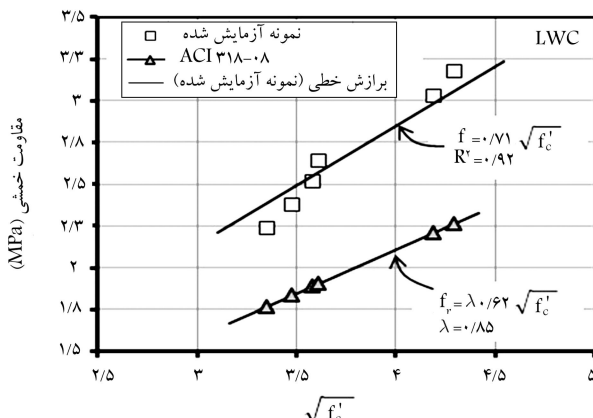
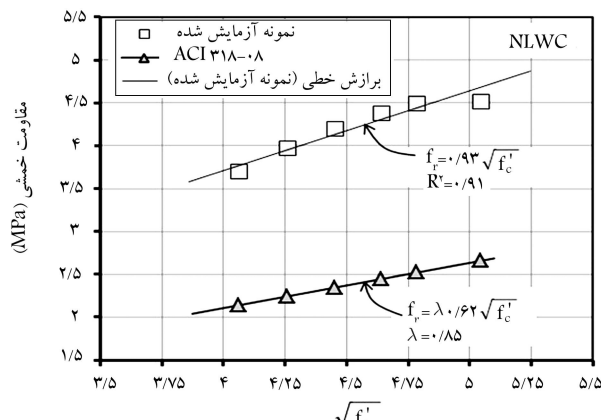
پس از تعیین نسبت‌های اختلاط نهایی، مخلوط بتن حاصل مطابق استاندارد ASTM-C1۹۲<sup>[۱۶]</sup> برای نمونه‌های مربوط به تعیین ویژگی‌های بتن سبک و بتن سبک دارای نانو سیلیس قالب‌بریزی و عمل آوری شد. تمام نمونه‌ها در سن ۷ روزه از آب خارج شدند و با توجه به استانداردهای مربوط آزمایش قرار گرفتند.

برای تعیین مقاومت فشاری از نمونه‌های استوانه‌ی ابعاد  $150 \times 300 \text{ mm}$  مطابق استاندارد ASTM-C3۹<sup>[۱۰]</sup> در دستگاه ELE به ظرفیت ۲۰۰۰ کیلونیون و با سرعت بارگذاری ۲۸ روتا با رعایت استاندارد ASTM-C4۶۶<sup>[۱۱]</sup>، با سرعت بارگذاری ۵۰ روتا با رعایت استاندارد ASTM-C6۱۷<sup>[۱۲]</sup> تعیین شد. در این آزمایش‌ها برای از بین بردن تمرکز تنش، مطابق استاندارد ASTM-C6۱۷<sup>[۱۲]</sup> کلاه‌گذاری به دو شیوه با خمیر گوگرد و با خمیر سیمان با مقاومت میانگین ۳۷,۹۶ مگاپاسکال بر روی نمونه‌ها انجام شد.

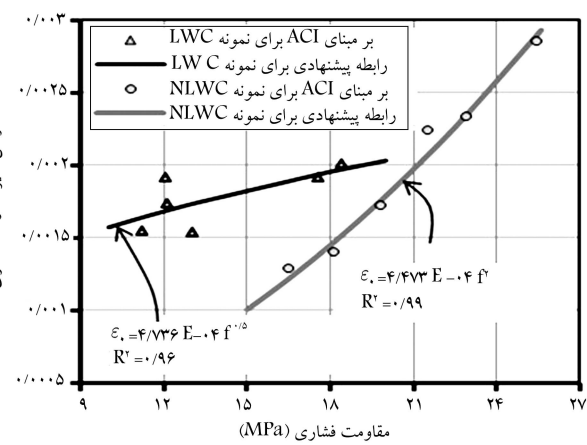
با توجه به اینکه مقاومت فشاری نمونه‌ی استوانه‌ی نسبتی مشخص از مقاومت فشاری نمونه‌ی مکعبی است، مبحث نهم مقررات ملی ایران برای بتن معمولی این نسبت را برابر  $8/0$  ارائه می‌دهد. میانگین این نسبت برای بتن سبک و بتن سبک دارای نانو سیلیس به ترتیب برابر با  $5/0$  و  $6/0$  به دست آمد، که مقدار آنها در جدول ۷ آورده شده است. مطابق این جدول، اگر در طرح اختلاط بتن سبک  $\% 3$  سیمان با نانو سیلیس جایگزین شود، میانگین مقاومت فشاری استوانه‌ی فشاری مکعبی و مدول ارتجاعی بتن سبک دارای نانو سیلیس نسبت به مقادیر نظری بتن سیمان با نانو سیلیس جایگزین شود، میانگین مقاومت فشاری استوانه‌ی فشاری دارای سبک به ترتیب  $4/7$ ،  $2/4$  و  $2/9$  درصد افزایش می‌یابد. در شکل ۳، تغییرات مدول ارتجاعی بتن سبک و بتن سبک دارای نانو سیلیس برای برقراری ارتباط میان مدول ارتجاعی و مقاومت فشاری بتن سبک دارای نانو سیلیس و در مقایسه با رابطه‌ی ACI آورده شده است. چنانچه ملاحظه می‌شود روابط پیشنهادی ACI برای هر دو نوع بتن به یک نتیجه انجامیده است. در حالی که روابط به دست آمده از برازش

جدول ۷. مشخصات مهندسی بتن سبک و بتن سبک دارای نانوسيلیس (۲۸ روزه).

نمونه‌های با نسبت آب به سیمان ۳/۷	استوانه‌یی به مکعبی	مقادیر فشاری	نسبت استوانه‌یی به مکعبی	کششی (MPa)	نسبت مقاومت خمشی به فشاری	مقاومت خمشی (MPa)	نسبت مقاومت خمشی به فشاری	کششی فشاری (GPa)	نسبت مقاومت خمشی به فشاری	کرنش نظری مدول ارتجاعی	
					نمونه آزمایش شده	برازش خطی (نمونه آزمایش شده)	ACI ۳۱۸-۰۸				
LWC-Cy۱ & Cub۱	۱۱/۴۴	۲۶	۰/۴۳	۲/۱۰	۰/۱۹	۲/۲۴	۰/۲۰	۹/۵۸	۰/۰۰ ۱۵۵	۰/۰۰ ۱۹۱	۰/۰۰ ۱۹۱
LWC-Cy۲ & Cub۲	۱۲/۰۷	۲۵	۰/۴۸	۲/۲۰	۰/۱۸	۲/۳۸	۰/۲۰	۸/۱۳	۰/۰۰ ۱۹۱	۰/۰۰ ۱۷۳	۰/۰۰ ۱۷۳
LWC-Cy۳ & Cub۳	۱۲/۱۱	۲۶/۷	۰/۴۵	۲/۲۸	۰/۱۹	۲/۵۱	۰/۲۱	۹/۶۶	۰/۰۰ ۱۵۳	۰/۰۰ ۱۵۳	۰/۰۰ ۱۵۳
LWC-Cy۴ & Cub۴	۱۳/۰۵	۲۶/۷	۰/۴۸	۲/۴۱	۰/۱۸	۲/۶۴	۰/۲۰	۱۳/۱۰	۰/۰۰ ۱۹۱	۰/۰۰ ۱۹۱	۰/۰۰ ۱۹۱
LWC-Cy۵ & Cub۵	۱۷/۵۵	۲۷	۰/۶۵	۲/۵۵	۰/۱۵	۳/۱۸	۰/۱۸	۱۱/۹۰	۰/۰۰ ۲۰۱	۰/۰۰ ۲۰۱	۰/۰۰ ۲۰۱
LWC-Cy۶ & Cub۶	۱۸/۴۵	۲۷	۰/۶۸	۲/۷۰	۰/۱۵	۳/۱۸	۰/۱۷	۱۲/۲۰	۰/۰۰ ۱۸۲	۰/۰۰ ۱۸۲	۰/۰۰ ۱۸۲
NLWC-Cy۱ & Cub۱	۱۶/۴۹	۲۵/۲۳	۰/۵۳	۲/۳۷	۰/۱۷	۲/۷۲	۰/۱۹	۱۰/۸۰	۱۷/۹۴	۰/۰۰ ۱۳	۰/۰۰ ۱۳
NLWC-Cy۲ & Cub۲	۱۸/۱۴	۳۱/۱	۰/۵۸	۲/۹۷	۰/۱۷	۳/۹۸	۰/۲۲	۱۸/۷۴	۰/۰۰ ۱۴	۰/۰۰ ۱۴	۰/۰۰ ۱۴
NLWC-Cy۳ & Cub۳	۱۹/۸۲	۳۱/۲	۰/۶۴	۳/۱۴	۰/۱۶	۴/۲۰	۰/۲۱	۱۸/۷۴	۰/۰۰ ۱۷	۰/۰۰ ۱۷	۰/۰۰ ۱۷
NLWC-Cy۴ & Cub۴	۲۱/۵۳	۳۱/۲	۰/۶۹	۳/۲	۰/۱۵	۴/۳۸	۰/۲۰	۱۸/۵۲	۰/۰۰ ۲۲	۰/۰۰ ۲۲	۰/۰۰ ۲۲
NLWC-Cy۵ & Cub۵	۲۲/۸۹	۳۲/۲	۰/۷۱	۳/۲۵	۰/۱۴	۴/۵۰	۰/۲۰	۲۰/۳۸	۰/۰۰ ۲۳	۰/۰۰ ۲۳	۰/۰۰ ۲۳
NLWC-Cy۶ & Cub۶	۲۵/۴۴	۳۲/۲	۰/۷۹	۳/۴۴	۰/۱۴	۴/۵۲	۰/۱۸	۲۱/۲۳	۰/۰۰ ۲۸۶	۰/۰۰ ۲۸۶	۰/۰۰ ۲۸۶
میانگین	۲۰/۷۲	۳۱/۵۰	۰/۶۶	۳/۱۴	۰/۱۶	۴/۱۸	۰/۲۱	۱۹/۲۶	۰/۰۰ ۱۷۴	۰/۰۰ ۱۷۴	۰/۰۰ ۱۷۴



شکل ۵. مقاومت خمشی بتن سبک و بتن سبک دارای نانوسيلیس.



شکل ۴. تغییرات کرنش نظری مقاومت فشاری بتن سبک و بتن سبک دارای نانوسيلیس.

### ۲.۳ مقاومت خمشی

برای تعیین مقاومت خمشی از نمونه‌های مشوری به ابعاد استاندارد  $150 \times 150 \times 650$  mm [۲۲] با سرعت ۱ مگاپاسکال بر دقيقه و به روش مندرج در استاندارد ASTM-C۲۹۳ [۲۳] آزمایش شده است. مقادیر مقاومت خمشی نمونه‌های مورد بررسی در این پژوهش و نسبت آنها به مقاومت فشاری در جدول ۵ ترسیم و با مقادیر بدست آمده از روابط آینه‌نامه ACI مقایسه شده است. همان‌طور که در این شکل ملاحظه

می‌شود، روند تغییرات مقاومت خمشی برای همهٔ نمونه‌ها تقریباً مشابه است، ولی روابط آینه‌نامه‌ی ACI مقادیر کمتری به دست می‌دهد. از این نظر، رابطه‌ی ۴ با ضرایب همبستگی بالا برای تخمین تعیین مقاومت خمشی براساس مقاومت فشاری پیشنهاد می‌شود:

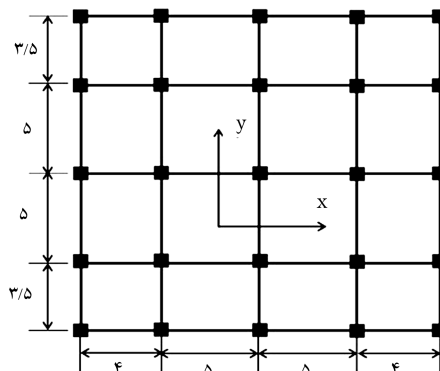
$$f_r = 0.93 f_c^{1/5} \quad (4)$$

#### ۴. کاربرد سازه‌یی نانو - بتن سبک

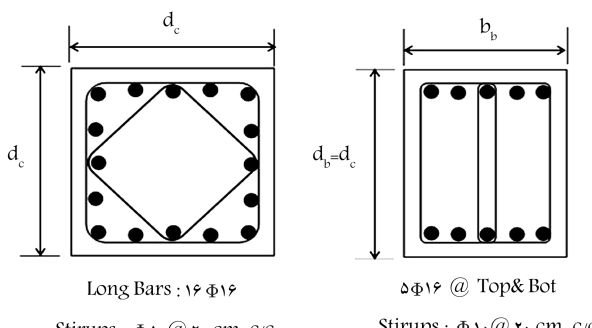
پس از تعیین خصوصیات مکانیکی بتن سبک و بتن سبک دارای نانوسیلیس، کاربرد آنها در المان‌های سازه‌یی ۴ ساختمان بتن مسلح ۶ طبقه با ارتفاع هر طبقه ۳/۲ متر مورد ارزیابی قرار گرفت. سیستم سازه‌یی این ساختمان‌ها قاب خمشی با شکل پذیری متوسط و پلان متقاضن، براساس ویرایش سوم استاندارد ۲۸۰۰ ایران [۱۴] با رگزاری، تحلیل و سپس بر طبق آینه‌نامهٔ بتن ایران (آبآ) طراحی شدند [۱۵]. تفاوت اصلی این ۴ ساختمان در به کارگیری نوع بتن با مشخصات داده شده در جدول ۸ است. مشخصات هندسی سازه شامل ابعاد پلان و برخی جزئیات عضوهای اصلی، که برای هر ۴ ساختمان یکسان فرض شده است، در شکل ۷ و جدول ۶ آورده شده

جدول ۸. مشخصات مصالح به کار رفته در طراحی سازه‌ها.

نوع بتن و میلگرد	وزن مخصوص مقادیر ارجاعی (MPa)	کششی (MPa)
بتن معمولی	۲۴۰۰	۲۱۴۵۰
بتن سبک	۱۶۷۵	۱۰۷۷۳
بتن سبک با نانوسیلیس	۱۶۷۵	۱۹۲۵۹
میلگرد (مقاومت کششی)	۷۸۵۰	۲۰۰۰۰
کششی = ۳۰۰		



پلان ساختمان‌های مورد مطالعه ( اندازه دهنه‌ها به متر )



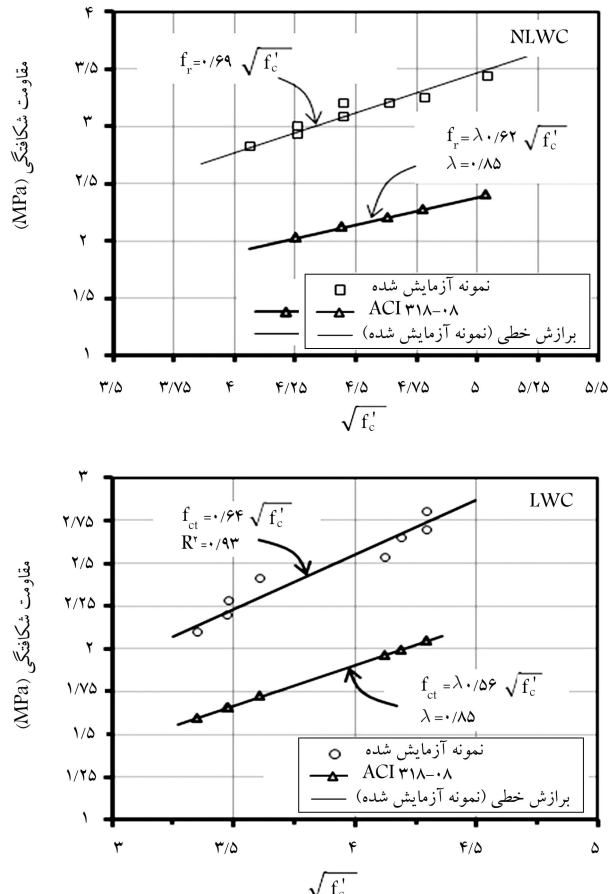
آرایش میلگردهای تیرها و ستونها

شکل ۷. پلان ساختمان و آرایش میلگردهای ستون و تیر.

#### ۳. مقاومت کششی (شکافتگی)

برای تعیین مقاومت کششی (شکافتگی)، نمونه‌ی استوانه‌یی مطابق استاندارد ASTM-C۳۳۰ [۱۶] با سرعت ۱/۲ مکاپاسکال بر دقتیه و به روش مندرج در استاندارد ASTM-C۴۹۶ [۱۷] آزمایش شده است. مقادیر مقاومت کششی نمونه‌های مورد بررسی در این پژوهش و نسبت آنها به مقاومت فشاری در جدول ۷ آورده شده و ملاحظه می‌شود که افزودن نانوسیلیس ۲۶٪ مقاومت کششی را افزایش داده است. در شکل ۶، تغییرات مقاومت کششی نمونه‌های استوانه‌یی در مقابل  $\sqrt{f'_c}$  ترسیم و با مقادیر به دست آمده از روابط آینه‌نامهٔ ACI مقایسه شده است.

همان‌طور که در این شکل ملاحظه می‌شود، روند تغییرات در هر دو مقاومت (خمشی و کششی) برای همهٔ نمونه‌ها تقریباً مشابه است، ولی روابط آینه‌نامهٔ ACI مقادیر کمتری به دست می‌دهد. از این نظر روابط خطی ساده با ضرایب همبستگی بالا، برای تخمین تعیین مقاومت کششی (شکافتگی) براساس مقاومت فشاری پیشنهاد می‌شود. در رابطه‌ی ۵، مقدار مقاومت خمشی بتن سبک دارای



شکل ۶. مقاومت شکافتگی بتن سبک و بتن سبک دارای نانوسیلیس.

ساختمان همه‌ی این سازه‌ها با کاربری مسکونی و با اهمیت متوسط (I=1) در منطقه‌ی با خطر نسبی خیلی زیاد ( $A = 0,35 \text{ g}$ ) (A) و خاک نوع II در نظر گرفته شده‌اند. سقف‌ها در همه‌ی ترازها از نوع تیرچه بلوک فرض شده است. تحلیل مربوط به طراحی همه‌ی سازه‌ها در محیط نرم‌افزار SAP ۱۴۰/۰ به صورت سه بعدی و استاتیکی خطی انجام شده است. بازگذاری مقایل سازه‌ها مطابق با مبحث ششم مقررات ملی ایران،<sup>[۲۶]</sup> که بار مرده با مظنوکردن میانقاب‌ها و بار زنده برای طبقات مطابق جدول ۱۰ و بار زنده برای بام ۱۵۰ کیلوگرم بر مترمربع در نظر گرفته شده است. خلاصه‌ی نتایج تحلیل اولیه در جدول ۱۱ ارائه شده است.

جدول ۹. مشخصات هندسی سازه.

طبقات					
ستون‌ها		بعاد و میلگرد (mm)			
تیرها		$b_b$	$b_d$	$d_e$	$b_c$
اول تا سوم		۴۵۰	۵۰۰	۱۶۴۲۵	۵۰۰
سوم تا ششم		۴۵۰	۵۰۰	۱۶۴۲۰	۴۵۰

جدول ۱۰. مشخصات سازه‌های مورد بررسی.

نماد سازه‌ها	ستون‌ها	تیرها	سقف‌ها میانقاب (kg/m <sup>2</sup> )	بتن و مصالح مصرفی	بار مرده	بار زنده
CC700	۲۰۰	۷۰۰	B-M B-M M-B	B-M	۲۰۰	CC700
CC500	۲۰۰	۵۰۰	B-M B-S H-B	B-M	۲۰۰	CC500
LWC500	۲۰۰	۵۰۰	B-M B-S H-B	B-S	۲۰۰	LWC500
NLWC500	۲۰۰	۵۰۰	N-B-M N-B-S B-S H-B	B-S	۲۰۰	NLWC500

ب-م = بتن معمولی، م-ب = مصالح بنایی، ب-س = نانو بتن سبک، هب = هبلکس.

**۵. تحلیل غیرخطی سازه‌ها**  
تحلیل‌های غیرخطی استاتیکی با استفاده از نرم‌افزار SAP ۱۴۰/۰ انجام شده است. بررسی رفتار و تعیین منحنی ظرفیت سازه‌های مورد مطالعه با استفاده از روش تحلیل استاتیکی غیرخطی، تا رسیدن به تغییرمکان هدف برای سطح عملکرد ایمنی جانی انجام شده است. براساس ضوابط دستورالعمل بهسازی لرزه‌یی،<sup>[۲۷]</sup> و FEMA ۳۵۶<sup>[۲۸]</sup> سطح عملکرد اعضاء میانی بر میزان چرخش خمیری لوله‌ای خمیری به عنوان شاخص برای سیستم‌های یک درجه آزاد در هر یک از اعضاء تعیین شد. مقدار تغییرمکان هدف با استفاده از رابطه‌ی ۶ (روشن ضرایب) تعیین شده است.

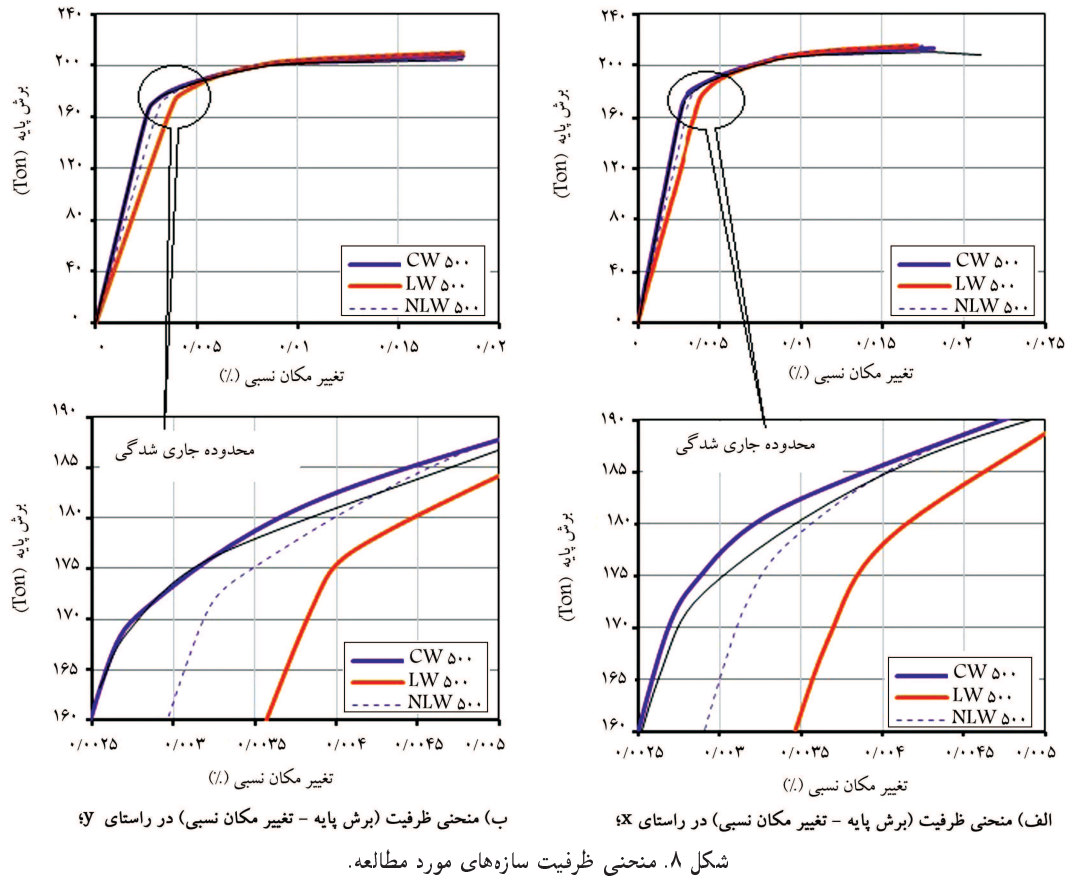
$$\delta_{T \arg e t} = C \cdot C_1 C_2 C_3 S_a \frac{T_e^r}{4\pi^2} g \quad (6)$$

که در آن،  $C$  ضریب اصلاح برای مرتبطکردن تغییرمکان طیفی با تغییرمکان با م است،  $C_1$  ضریب اصلاحی است که بیشینه‌ی تغییرمکان غیرارتجاعی موردنظر را با تغییرمکان‌های به دست آمده از طیف ارجاعی خطی مرتبط می‌کند،  $C_2$  ضریب اصلاحی برای نشان‌دادن تأثیر رفتار هیسترزیس در تغییرمکان طیفی بیشینه‌ی سازه است،  $C_3$  ضریب اصلاحی برای منظورکردن افزایش تغییرمکان در نتیجه‌ی آثار مرتبه‌ی دوم مرتبط با  $\Delta - P$  و  $S_a$  ضریب شتاب طیفی است، که با توجه به زمان تناوب اصلی مؤثر تعیین می‌شود و  $T_e$  زمان تناوب اصلی مؤثر سازه است. برای محاسبه‌ی ضرایب  $C_1$  تا  $C_3$  از ضوابط دستورالعمل بهسازی لرزه‌یی ساختمان‌های موجود<sup>[۲۷]</sup> استفاده شد. در جدول ۱۲، مقادیر ضرایب و نقطه‌ی هدف به ترتیب سازه‌ها آورده شده است. باید توجه داشت که تعیین مقدار دقیق تغییرمکان هدف نیازمند انجام تحلیل با افزون (پوش اور) است، بنابراین، در این مرحله مقدار تقریبی این پارامتر تعیین شده است. به منظور بررسی دقیق تر رفتار همه‌ی سازه‌های موردنظر در محدوده‌ی تغییرمکان‌های فراتراز تغییرمکان هدف که ممکن است تحت اثر زلزله‌های

است. نخستین سازه با نماد CC700 دارای تیرها و ستون‌های بتنی معمولی و همه‌ی سقف‌ها از تیرچه بلوک با بتن معمولی ساخته و میانقاب‌ها از مصالح بنائی تشکیل شده‌اند، که بار مرده و زنده‌ی طبقات در این ساختمان به ترتیب ۷۰۰ و ۲۰۰ کیلوگرم بر مترمربع محاسبه شده است. در سازه‌ی دوم (دارای نماد CC500) با جایگزینی بتن سبک با وزن مخصوص ۱۶۷۵ کیلوگرم بر مترمکعب و بتن سبک (بدون درشت‌دانه) با وزن مخصوص ۱۲۰۰ کیلوگرم بر مترمکعب در سقف تیرچه بلوک طبقات و کاربرد پانل‌های هبلکس در دیوارها با وزن ۸۰ کیلوگرم بر مترمربع، بار مرده‌ی طبقات به ۵۰۰ کیلوگرم بر مترمربع کاهش یافت. در سازه‌ی سوم، تیرهای طبقات از بتن سبک سازه‌ی با مشخصات ارائه شده در جدول ۹ تشکیل شده‌اند، که موجب کاهش بیشتر بار مرده به میزان ۵۰ کیلوگرم بر مترمکعب در سازه شده است و نماد این سازه LW50 است. تفاوت سازه‌ی چهارم با سازه‌ی سوم در این است که از بتن سبک دارای نانوسیلیس یا نانویتن سبک در تیر طبقات استفاده شده است. نماد معروفی این سازه NLW50 است. خلاصه‌ی تفاوت این سازه‌ها در جدول ۱۰ ارائه شده است.

جدول ۱۱. نتایج تحلیل اولیه‌ی سازه‌های چهارگانه براساس استاندارد ۲۸۰۰ ایران.

نماد سازه‌ها	زمان تناوب (ثانیه)			
	استاندارد	مود اول	مود دوم	استاندارد
	راستایی $\alpha$	راستایی $\beta$	راستایی $\gamma$	راستایی $\delta$
CC700	۰,۹۸	۰,۹۸	۰,۹۶	۰,۹۵
CC500	۰,۹۸	۰,۹۶	۰,۹۶	۰,۸۷
LWC500	۰,۹۶	۰,۹۶	۰,۹۶	۱
NLWC500	۰,۹۶	۰,۹۶	۰,۹۵	۰,۹



الف) منحنی ظرفیت (برش پایه - تغییر مکان نسبی) در راستای ۴

شکل ۸. منحنی ظرفیت سازه‌های مورد مطالعه.

ب) منحنی ظرفیت (برش پایه - تغییر مکان نسبی) در راستای ۷

سازه‌ی ساخته شده از بتن معمولی تغییری در مقدار بیشینه‌ی برش پایه و برش پایه‌ی تسليم در محدوده‌ی غیرخطی ایجاد نمی‌کند. اما مشاهده می‌شود که مقدار برش تسليم در سازه با بار مرده‌ی کمتر اندکی افزایش یافته است. پارامترهای به دست آمده از منحنی ظرفیت هر یک از سازه‌های تحلیل شده در جدول ۱۳ ارائه شده است. مقادیر شکل بذیری سازه‌ها با استفاده از تغییرشکل نهایی سازه براساس آئین نامه ۲۸۰۰ و نیز براساس نتایج تحلیل آمده است. همان‌طور که مشاهده می‌شود در صورت استفاده از بتن سبک، شکل بذیری سازه کاهش می‌یابد؛ اما با افزودن فقط ۳٪ نانوسیلیس، شکل بذیری سازه‌ی ساخته شده از بتن سبک افزایش پیدا می‌کند. به علاوه تغییر مکان نقطه‌ی کنترل در سازه‌ی ساخته شده از بتن سبک دارای نانوسیلیس، بیشتر از بتن سبک است. نسبت‌های پارامترهای به دست آمده برای مقایسه در جدول ۱۴ ارائه شده است.

## ۷. نتیجه‌گیری

در این نوشتار خصوصیات مکانیکی بتن سبک دارای سبک‌دانه‌ی رس منبسط شده و ماسه در حالت جایگزینی ۳٪ سیمان با نانوسیلیس بررسی و نقش آن در رفتار لرزه‌ی قاب‌های ساختمانی ارزیابی شده است، که در این قسمت اهم نتایج آن آورده شده است:

۱. با افزودن نانوسیلیس به بتن سبک وزن مخصوص آن اندکی کاهش می‌یابد. همچنین کارایی آن نیز کاهش می‌یابد، که برای تأمین کارایی باید از فوق روان‌گشته‌ی بیشتری استفاده شود.

جدول ۱۲. ضرایب اصلاحی و تغییر مکان هدف در تحلیل استاتیکی غیرخطی.

نماد سازه‌ها	مقدار ضرایب اصلاحی			
	$C_2$	$C_2$	$C_1$	$C_0$
	۱	۱	۱	۱,۴۲
$\delta_{Target}$ (cm)			$S_a$	
۱۶/۲۶			۰,۴۸	CC700
۱۴/۵۸			۰,۵۱	CC500
۱۶/۹۳			۰,۴۸	LWC500
۱۵/۲۹			۰,۴۸	NLWC500

با شدت بیشتر قرار گیرنده، تغییر مکان هدف برابر ۳۵٪ در نظر گرفته شده است. براساس پیش استاندارد FEMA ۳۵۶ [۲۸] و دستورالعمل بهسازی کلیه‌ی تحلیل‌ها تحت اثر بارهای جانبی در هر دو راستا ( $x, y$ ) و در ادامه، تحلیل تحت تحریک بار نقلی انجام شده است. منحنی ظرفیت این سازه‌ها در شکل ۸ آمده است.

## ۶. منحنی ظرفیت

همان‌طور که در شکل ۸ مشاهده می‌شود، منحنی ظرفیت سازه‌ها به تفکیک دارای ۳ مرحله‌ی ارتیاعی، ارتیاعی - خمیری و خمیری است. سختی سازه‌یی، که در آن از بتن سبک استفاده شده است، کمتر از سازه با بتن معمولی است، در حالی که با افزودن نانوسیلیس به بتن سبک، سختی آن افزایش یافته است، ولی همچنان از سختی سازه با بتن معمولی اندکی کمتر است. به علاوه کاهش بار مرده‌ی طبقات در

جدول ۱۳. مقادیر ضریب شکل‌پذیری سازه‌ها، به دست آمده از تحلیل غیرخطی و استاندارد ۲۸۰۰.

NLW $5^00$	LW $5^00$	CW $5^00$	CW $7^00$			
۴,۵۶	—	۵,۰۲	۵,۵۴	تحلیل در راستای محور $x$	روش استاندارد	
۴,۷۹	—	۵,۱۷	۶,۱۷	تحلیل در راستای محور $y$	۲۸۰۰	
۲۸۵۷	۲۴۰۲	۳۲۳۷	۳۳۰۲	سختی (تن بر متر)		
۱۷۵۴	۱۷۵۰	۱۷۰۹/۹	۱۷۱۲/۸	برش پایه‌ی نظیر تسلیم (کیلونیوتن)	تحلیل غیرخطی در برش پایه‌ی نظیر تسلیم (کیلونیوتن)	
۰,۰۶۷	۰,۰۷۷	۰,۰۵۵	۰,۰۵۷	(متر) $\Delta x$	راستای محور $X$	
۵,۰۴	۴,۲۳	۶,۳۶	۷,۰۴	$\mu \Delta = \Delta_u / \Delta_y$		
۲۸۲۲	۲۲۳۵	۳۲۶۵	۳۳۷۶	سختی (تن بر متر)		
۱۷۰۶,۹	۱۷۳۶,۴	۱۶۷۷,۵	۱۶۵۸	برش پایه‌ی نظیر تسلیم (کیلونیوتن)	تحلیل غیرخطی در برش پایه‌ی نظیر تسلیم (کیلونیوتن)	
۰,۰۶۵	۰,۰۸	۰,۰۵۴	۰,۰۵۲	(متر) $\Delta y$	راستای محور $Y$	
۵,۳۴	۴,۳۸	۶,۴۸	۶,۷۳	$\mu \Delta = \Delta_u / \Delta_y$		

جدول ۱۴. مقایسه‌ی عوامل رفتار لرزه‌ی سازه‌ها، به دست آمده از تحلیل غیرخطی (درصد).

NLW $5^00$	NLW $5^00$	NLW $5^00$	LW $5^00$	CW $5^0$	پارامترهای رفتاری	
LW $5^00$	CW $7^00$	CW $5^00$	CW $7^00$	LW $5^00$		
+۱۸/۹	-۱۲/۵	-۲۸/۰	-۱۴/۴	-۲۷/۳	راستای $x$	
+۲۰/۸	-۱۶/۴	-۳۰/۶	-۱۶/۰	-۳۰/۸	راستای $y$	نسبت سختی
+۱۹/۹	-۱۵/۰	-۲۹/۳	۱۵/۲	۲۹/۱	میانگین	
+۰/۲	+۲/۴	+۲/۳	-۲/۶	+۲/۲	راستای $x$	نسبت برش
-۱/۷	+۲/۹	+۳/۵	+۱/۷۵	+۴/۷	راستای $y$	پایه
۰/۹۵	۲/۶۵	۳/۰	۲/۱۸	۳/۴۵	میانگین	
+۱۸/۴	-۲۷/۶	-۳۲/۶	-۲۰/۱	-۳۸/۸	راستای $x$	نسبت ضربی
+۲۲/۸	-۲۰/۱	-۳۴/۹	-۱۶/۹	-۳۲/۴	راستای $y$	شکل‌پذیری
۲۰/۶	۲۳/۹	۲۳/۸	۱۸/۵	۳۵/۶	میانگین	

سبک بدون نانوسیلیس به دست آمد. به علاوه مقادیر به دست آمده از آزمایش در مقایسه با مقادیر محاسبه شده از رابطه‌ی ACI، که برای هردو نوع بتن به یک نتیجه انجامیده است، بیشتر شده است. بنابراین با برازش داده‌های به دست آمده از این پژوهش، که دارای ضریب همبستگی خوبی است، رابطه‌ی تعیین مدول ارتجاعی بتن سبک دارای نانوسیلیس پیشنهاد می‌شود.

۶. میانگین مقاومت شکافتگی بتن سبک نیز با افزودن نانوسیلیس ۲۶٪ بیشتر می‌شود و رابطه‌ی تخمین مقاومت شکافتگی براساس مقاومت فشاری تخمین زده شده است.

۷. از بتن سبک و بتن سبک دارای نانوسیلیس می‌توان در اعضای سازه‌ی با تمهیداتی که نیازمند بررسی بیشتر است، استفاده کرد.

۲. با افزایش نسبت آب به سیمان، مقاومت فشاری بتن سبک دارای نانوسیلیس و بتن سبک بدون نانوسیلیس کاهش می‌یابد، ولی مقاومت بتن سبک دارای نانوسیلیس، با افزایش نسبت آب به سیمان، با نزدیکتری کاهش می‌یابد.

۳. نسبت مقاومت فشاری استوانه‌ی به مکعبی استاندارد برای بتن سبک برابر ۵۳٪ و برای بتن سبک دارای نانو سیلیس برابر ۶۶٪ به دست آمد.

۴. در صورت افزودن نانوسیلیس، مقاومت فشاری استوانه‌ی و مکعبی بتن سبک به ترتیب ۴۷٪ درصد افزایش می‌یابد و شکست نمونه‌های فشاری همانند بتن معمولی به شکست سنگ‌دانه وابسته است.

۵. میانگین مدول ارتجاعی بتن سبک با افزودن نانو سیلیس ۷۹٪ بیشتر از بتن

## (References) مراجع

1. Lo, T.Y., Cui, H.Z. and Li, Z.G. "Influence of aggregate pre-wetting and fly ash on mechanical properties of lightweight concrete", *Waste Management*, **24**(4), pp. 333-338 (2004).
2. Sartiss, C. and Brentson, L. "Lighthead Concrete", Shekarchizade, M., et. al., Tehran University (2009) (Translated in Farsi).
3. ACI 213R-87 "Guide for structural lightweight aggregate concrete- ACI 213R-87", American Concrete Institute, Detroit, USA (1999).
4. Ramezanianpour, A.A., Parhizkar, T. and Taheri, A. "Implementation of microSilica", Building and Housing Research Center (BHRC), Report No. 241, Tehran, I.R. Iran (1998).
5. YE, Q., Zhang, Z., SHENG, L. and Chen, R. "A comparative study on the pozzolanic activity between nano-SiO<sub>2</sub> and silica fume", *Journal of Wuhan University of Technolog*, **21**(3), pp. 153-157 (2006).
6. Sadrmomtazi, A., Fasihi, A., Balalaei, F. and Hagh, A.K. "Investigation of mechanical and physical properties of mortars containing silica fume and nano-SiO<sub>2</sub>", *3rd International Conference on Concrete & Development*, Tehran, Iran, pp. 1153-1161 (2009).
7. Ramezanianpoor, A.A. "Cement replacement material", Building and Housing Research Center (BHRC), Report No. 22. Tehran, I.R. Iran (2007).
8. Zare, K. "Use of super-plasticizers in concrete", Civil Eng. Department Amirkabir Univ. of Tech., pp. 31-44 (1989).
9. ASTM C330 "Standard specification for lightweight aggregates for structural concrete", **04.02**, American Society for Testing and Materials, USA (2004).
10. ACI 211.2-98 "Standard practice for selecting proportions for structural lightweight concrete- ACI 211.2-98", American Concrete Institute, Detroit, USA (1998).
11. Shekarchizade, M.A., Mahootian, L. and Ashoori, E. "Guide lines for use of lightweight Lica gravel", Lica Co. Tehran, I.R. Iran (2009).
12. ASTM C127 "Density, relative density (specific gravity) and absorption of coarse aggregate", **04.02**, American Society for Testing and Materials, USA (2001).
13. ASTM C136 "Sieve analysis of fine and coarse aggregates", **04.02**, American Society for Testing and Materials, USA (2001).
14. ASTM C33 "Standard specification for concrete aggregates", **04.02**, American Society for Testing and Materials, USA (2003).
15. ACI 211.2-R-98 "Standard practice for selecting proportions for structural lightweight concrete", American Concrete Institute, Detroit, USA (1998).
16. ASTM C192 "Making and curing concrete test specimens in the laboratory", **04.02**, American Society for Testing and Materials, USA (2002).
17. Poorshahram, M. "Design, construction and mechanical properties of self-compact lightweight concrete containing nanoparticles", MSc Dissertation, Sh. Bahonar University, Kerman, I.R. Iran (2007).
18. ASTM C143 "Slump of hydraulic-cement concrete", **04.02**, American Society for Testing and Materials, USA (2003).
19. ASTM C567 "Determining density of structural lightweight concrete", **04.02**, American Society for Testing and Materials, USA (2000).
20. ASTM C39 "Compressive strength of cylindrical concrete specimens", **04.02**, American Society for Testing and Materials, USA (2003).
21. ASTM C496 "Splitting tensile strength of cylindrical concrete specimens", **04.02**, American Society for Testing and Materials, USA (2004).
22. ASTM C617 "Capping cylindrical concrete specimens", **04.02**, American Society for Testing and Materials, USA (2003).
23. ASTM C293 "Flexural strength of concrete (using simple beam with center-point loading)", **04.02**, American Society for Testing and Materials, USA (2002).
24. Building and Housing Research Center Iranian, "Code of practice for seismic design of building", Standard 2800, Third Version, Tehran, I.R. Iran (2005).
25. Planning and Management Organization of Iran, "Iranian concrete code of practice", First Revision, No. 120, Tehran, I.R. Iran (2001).
26. Ministry of Housing and Urban Planning, "Loads applied to the buildings", Part 6 of National Building Code, Tehran, I.R. Iran (2002).
27. Planning and Management Organization of Iran, "Guide lines for the seismic rehabilitation of existing buildings", No. 360, Tehran, I.R. Iran (2007).
28. FEMA-356 "Prestandard and commentary for the seismic rehabilitation of buildings", American Society of Civil Engineers, USA (2000).